

**ПРОТЕКАНИЕ РЕАКЦИИ В ДЕТОНАЦИОННОЙ ВОЛНЕ СМЕСЕВЫХ
ВЗРЫВЧАТЫХ ВЕЩЕСТВ**

*А. Я. Апин, И. М. Восковойников, Г. С. Соснова
(Москва)*

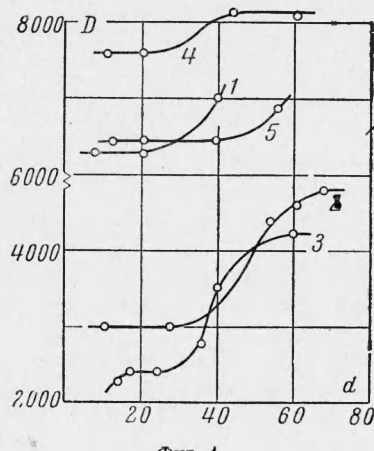
Развитие теории взрывчатых веществ (ВВ) требует знания кинетики реакций во фронте детонационной волны. Сложность изучения этого вопроса заключается в отсутствие прямых методов регистрации состава продуктов взрыва в волне и невозможности экстраполировать в область столь высоких температур T и давлений p данные о термическом разложении ВВ при низких T и p .

Некоторые сведения о протекании реакций в условиях детонационной волны можно получить, исследуя зависимость скорости детонации D , м / сек, от диаметра заряда d , мм, смесевых ВВ, содержащих взрывчатые составляющие различной реакционной способности. Вследствие разных времен реакции разложения этих составляющих рост скорости детонации при увеличении диаметра заряда будет происходить не непрерывно, а с фиксацией некоторых значений, соответствующих завершению промежуточных стадий реакции. Аналогичные зависимости $D(d)$ могут иметь место и для смесей типа окислитель — горючее, если дореагирование после разложения взрывчатых составляющих потребует для своего завершения значительного промежутка времени из-за затрудненности диффузий при давлениях детонации конденсированных ВВ. Ниже приводятся экспериментальные данные о скоростях детонации различных смесевых ВВ, во фронте волн которых обнаружена стадийность протекания реакции.

Первоначально исследовались смеси, состоящие из взрывчатого окислителя и невзрывчатого горючего; о степени прохождения дореагирования можно было судить по увеличению скорости детонации. На фиг. 1 представлены зависимости $D = D(d)$ для суспензии ламповой сажи с размером частиц около микрона в тетранитрометане 10 / 90 (кривая 1); механических смесей перхлората аммония с парафином 90 / 10, размер зерна 0.01 мм, $\rho_0 = 1.0$ г / см³ (кривая 2) и тротила с коллоидальным бором 90/10, $\rho_0 = 0.65$ г / см³ (кривая 3). Общим для указанных смесей является постоянство в некотором интервале диаметров зарядов псевдоидеальной скорости детонации («псевдоидеальная» скорость), величина которой соответствует энергии разложения окислителя.

Увеличение скорости детонации смеси тротила с коллоидальным бором при диаметрах заряда больших 40 мм указывает на то, что металлы (в частности, бор) могут сгорать в детонационной волне конденсированных ВВ с выделением дополнительного количества тепла, ведущему к росту скорости детонации, — факт, который часто ставится под сомнение при рассмотрении мощных металлизированных ВВ. Скорости детонации измерялись ионизационным и оптическим методами, ошибка в обоих случаях не превышала 50 м / сек.

На фиг. 1 помещены также кривые $D = D(d)$ для смеси гексогена с аммонийной селитрой 58 / 42, размер зерна 0.1 мм (кривая 4) и взвеси крупнокристаллического гексогена с размером частиц 1.0 ± 1.6 мм в желатинированном 2% плексигласе тет-

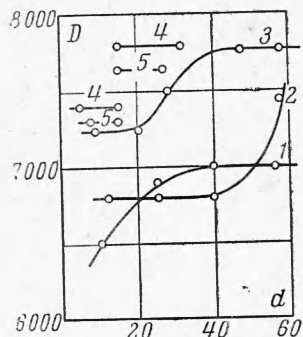


Фиг. 1

Псевдоидеальные скорости детонации D_2 смесевых ВВ, соответствующие разложению только одной компоненты

Взрывчатые вещества	ρ_0	D_2	D_i
58% $(\text{CH}_2\text{NNO}_2)_3 + 42\% \text{NH}_4\text{NO}_3$	1.73	7600	8100
58% $(\text{CH}_2\text{NNO}_2)_3 + 42\% \text{NaCl}$	1.89	—	7500
70% $\text{C}(\text{NO}_2)_4 + 30\% (\text{CH}_2\text{NNO}_2)_3$	—	6400	7500
70% $\text{C}(\text{NO}_2)_4 + 30\% \text{Na}_2\text{S}_2\text{O}_3$	—	—	6200
90% $\text{NH}_4\text{ClO}_4 + 10\%$ парафина	1.00	3000	4800
NH_4ClO_4	1.00	—	2900
90% $\text{CH}_3\text{C}_6\text{H}_2(\text{NO}_2)_3 + 10\%$ В	0.65	2400	4200
$\text{CH}_3\text{C}_6\text{H}_2(\text{NO}_2)_3$	0.65	—	3800

ранитрометане 30 / 70 (кривая 5). Величины псевдоидеальных скоростей соответствуют энергиям разложения гексогена и тетранитрометана во фронте волны. В последнем легко убедиться, измеряя скорости детонации в смесях, где не успевающая разложиться в волне составляющая (аммонийная селитра и крупнокристаллический гексоген) заменена на инертное вещество. Из приведенных в табл. 1 значений видно, что скорости детонации смеси гексогена с поваренной солью и взвеси гипосульфита в тетранитрометане мало отличаются от соответствующих псевдоидеальных скоростей детонации. В табл. 1 помещены также значения идеальных скоростей детонации D_i изучавшихся смесей.



Фиг. 2

между продуктами их разложения. Совпадение результатов расчета скоростей детонации D_3 , соответствующих завершению первой стадии реакции, с экспериментальными значениями псевдоидеальных скоростей детонации D_2 для ряда взрывчатых смесей, служит хорошим подтверждением такой схемы протекания реакции.

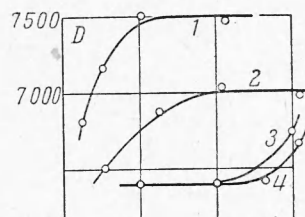
Таблица 2

Псевдоидеальные скорости детонации смесевых ВВ, соответствующие разложению двух составляющих

Взрывчатые вещества	$\rho_0, \text{ г} / \text{см}^3$	$D_2, \text{ м} / \text{сек}$	$D_3, \text{ м} / \text{сек}$	$D_i, \text{ м} / \text{сек}$
80% C (NO ₂) ₄ + 20% CH ₃ C ₆ H ₂ (NO ₂) ₃	1.64	6800	6800	7600
70% C (NO ₂) ₄ + 30% (CH ₂ NNO ₂) ₃	1.70	7000	7000	7500
76% CH ₃ CH (NO ₂) ₂ + 24% C (NO ₂) ₄	1.42	7250	7000	7800
50% C (CH ₂ ONO ₂) ₄ + 50% CH ₃ C ₆ H ₂ (NO ₂) ₃	1.65	7450	7550	7450

При исследовании жидкких взрывчатых растворов авторы обнаружили сильную зависимость скорости детонации от диаметра заряда, хотя она практически полностью отсутствует для индивидуальных жидкких и монокристаллических ВВ. Иногда эта зависимость имеет своеобразный вид: например, у растворов тетранитрометана с нитробензолом 76 / 24 и керосином 88 / 12 (кривые 4 и 5, фиг. 2) существует в некотором диаметре заряда, зависящем от толщины и материала оболочки, с равной вероятностью для значения скорости детонации, отличающиеся на 400 м/сек. Причем температуры детонационных фронтов, измеренные электронно-оптическим методом, различаются на 500° К.

Основной причиной наблюдаемого явления псевдоидеальной скорости детонации является стадийное протекание реакции во фронте детонационной волны смесевого ВВ, обусловленное кинетикой разложения взрывчатых составляющих. На скорость выделения энергии в волне влияет целый ряд факторов (реакционная способность компонент и теплота их взрывной реакции, дисперсность и процентный состав смеси), действие каждого из которых для конкретной взрывчатой смеси часто трудно выявить. Однако уменьшение дисперсности компонент в смеси всегда увеличивает вероятность наблюдения псевдоидеальной скорости детонации, так как увеличивает временную разницу между разложением компонент и последующим дореагированием. Так, если у взвеси мелкокристаллического гексогена с размером частиц около 0.1 мм в желатинированном тетранитрометане (кривая 1, фиг. 3) нарастание скорости детонации при увеличении диаметра заряда происходит непрерывно, то при размере частиц 0.3—0.4 мм (кривая 2) в диаметрах зарядов 20—50 мм удается фиксировать задержку дореагиро-



Фиг. 3

вания между продуктами разложения тетранитрометана и гексогена. Увеличение размера частиц до 1.0—1.6 мм и 3—4 мм ведет к тому, что в малых диаметрах зарядов крупнometаллический гексоген не успевает разлагаться в волне (кривые 3 и 4).

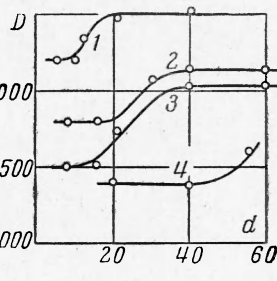
Рассмотрение кривых $D(d)$ для взвесей гексогена в тетранитрометане (фиг. 3) позволяет обнаружить, что при увеличении размера частиц большее некоторой величины (1.0—1.6 мм) диаметр заряда d_1 , в котором разлагается гексоген, перестает зависеть от его дисперсности. Величина d_1 характеризует время задержки разложения гексогена в объеме (для поверхностной реакции она была бы функцией размера частиц) и уменьшается при увеличении давления в детонационной волне.

Помещая зерна крупнокристаллического гексогена размером 1.0—1.6 мм в жидкие ВВ, давление в детонационной волне которых меняется от 180 до 220 тыс. атм., можно было проследить уменьшение диаметра d_1 с ростом давления (фиг. 4). Если считать, что реакция протекает эффективно до тех пор, пока давление не уменьшается на фиксированную долю, то времена задержки реакции будут в первом приближении пропорциональны диаметрам зарядов d_1 и при давлениях 180, 190 и 205 тыс. атм. относятся как числа 8 : 3 : 2.

Кривые 2 и 3 соответствуют одному и тому же давлению $p = 190$ тыс. атм., но разным температурам продуктов взрыва жидкого ВВ: кривая 2 — $T = 3200^\circ\text{K}$, кривая 3 — $T = 4200^\circ\text{K}$, отличающимся на 1000°K . Зерна гексогена разлагались в равных диаметрах зарядов. Кривая 1 соответствует давлению $p = 205$ тыс. атм., а кривая 4 — $p = 180$ тыс. атм. Жидкие ВВ имели малые критические диаметры и для них предполагалось сравнительно малое время реакции разложения в детонационной волне.

Проведенное рассмотрение кривых $D(d)$ для взвеси гексогена в жидким ВВ указывает на возможность использования явления псевдоидеальной скорости детонации для оценки времен разложения взрывчатых компонент в волне.

Идеальные скорости детонации соответствуют составу продуктов взрыва, который зависит только от содержания С — Н — Н — О и температур и давлений детонации; все параметры идеальной детонационной волны смесевого ВВ могут быть рассчитаны точно так же, как это делалось для индивидуальных ВВ [1]. Следует только учитывать особенности протекания реакции в детонационной волне смесевого ВВ, связанные с тем, что сначала взрывчатые компоненты разлагаются в собственном объеме, а затем происходит дореагирование в продуктах взрыва. В том случае, когда состав продуктов взрыва на первой стадии энергетически более выгоден, чем после дореагирования, первая стадия реакции ответственна за идеальную скорость детонации (это относится к смесям типа пентолита, табл. 2).



Фиг. 4

Поступила 25 V 1963

ЛИТЕРАТУРА

1. Апин А. Я., Воскобойников И. М. Расчет параметров детонационной волны конденсированных ВВ. ПМТФ, 1960, № 4.

ВЛИЯНИЕ ДАВЛЕНИЯ НА НАРУШЕНИЕ УСТОЙЧИВОСТИ ГОРЕНИЯ ПОРИСТЫХ ВЗРЫВЧАТЫХ ВЕЩЕСТВ

А. Ф. Беляев, А. И. Коротков, А. А. Сулимов

(Москва)

Было отмечено [1], что проникание горения в глубь пористого взрывчатого вещества (ВВ), вызывая резкое увеличение поверхности горения и скорости газообразования, может привести к взрыву.

К. К. Андреев [2] показал, что возникновение взрыва при горении пористых ВВ происходит при достижении в процессе горения достаточно высокого давления.

Ниже приводятся некоторые количественные данные о давлениях, при которых нарушается устойчивое горение запрессованных зарядов гексогена, тэна и тротила (с частицами исходных порошков близкого размера $\sim 10 \div 20 \mu\text{m}$). Заряды были различной пористости $m = 1 - \rho / \rho_{\max}$, где ρ — плотность заряда и ρ_{\max} — плотность монокристалла. Величина m дает долю объема, занятую порами.